

Клинические аспекты опухолевого ангиогенеза в перитуморозной зоне у больных раком почки

Т.М. Черданцева, И.П. Бобров, В.В. Климачев, В.М. Брюханов, А.Ф. Лазарев,

А.М. Авдялян, В.Я. Гервальд, А.Ю. Долгатов, В.А. Попов

Алтайский ГМУ; Алтайский филиал ФГБУ РОНЦ им. Н.Н. Блохина РАМН, Барнаул

Контакты: Татьяна Михайловна Черданцева drakon@agmu.ru

Изучены особенности опухолевого ангиогенеза в тканях, прилежащих к раку почки. Показано, что активность неоангиогенеза в перитуморозной зоне (ПЗ) зависела от биологических свойств опухоли и была наиболее высока в опухолях высокой степени злокачественности. Плотность микроциркуляторного русла в ПЗ коррелировала с важнейшими прогнозическими параметрами карциномы почки и поэтому может быть использована в качестве дополнительного фактора прогноза при раке почки.

Ключевые слова: рак почки, перитуморозная зона, ангиогенез

Tumor angiogenesis in the peritumor area in kidney cancer patients: clinical aspects

T.M. Cherdantseva, I.P. Bobrov, V.V. Klimachev, V.M. Bryukhanov,

A.F. Lazarev, A.M. Avdalyan, V.Ya. Gervald, A.Yu. Dolgatov, V.A. Popov

Altai State Medical University; Altai Branch, N.N. Blokhin Russian Cancer Research Center, Russian Academy of Medical Sciences, Barnaul

The specific features of tumor angiogenesis were studied in cancer-adjacent kidney tissues. The activity of neoangiogenesis in the peritumor area (PA) was shown to depend on the biological properties of a tumor and to be highest in high-grade tumors. The density of the PA microcirculatory bed correlated with the most important prognostic parameters for renal cell carcinoma and therefore it might be used as an additional prognostic factor in kidney cancer.

Key words: kidney cancer, peritumor area, angiogenesis

Введение

В последние годы выявлен целый ряд изменений, происходящих вблизи опухоли при раке различных локализаций [1–7]. Показано, что перитуморозная зона (ПЗ) при многих злокачественных новообразованиях имеет важное биологическое значение. Изучение изменений тканей, граничащих с опухолью, важно для выявления фоновых процессов, способствующих развитию опухоли. Именно к этой зоне относится понятие «опухолевое поле» и в ней начинается рост опухоли, ПЗ также во многом способствует прогрессии уже возникшей опухоли.

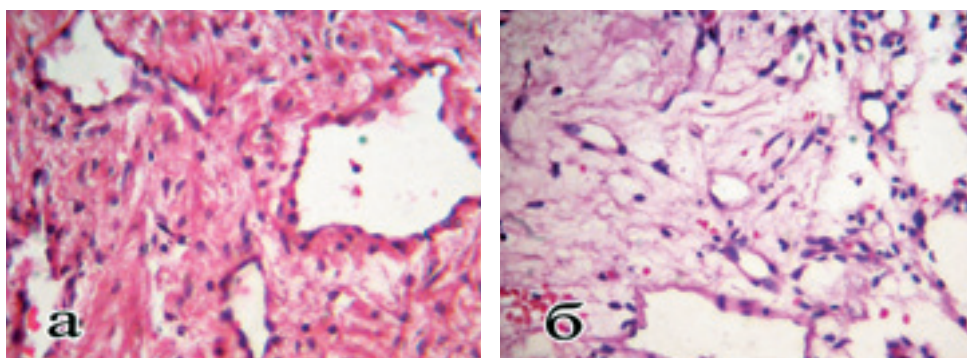
Ангиогенез имеет важное значение для роста и распространения рака почки [8, 9]. Однако при сложившемся мнении о prognostически неблагоприятном значении активного опухолевого ангиогенеза влияние развития сосудистого русла в ПЗ на прогрессию рака почки изучено недостаточно.

Цель исследования — изучение особенностей неоангиогенеза в ПЗ рака почки и сопоставление плотности микроциркуляторного русла с клинико-морфологическими параметрами опухолей.

Материалы и методы

Изучен операционный материал 32 больных раком почки. Из них 18 (56,2%) мужчин и 14 (43,8%) женщин. Средний возраст больных $53,4 \pm 1,2$ года. По гистологическому строению опухоли были представлены светлоклеточным раком. Группировка опухолей по клиническим стадиям (I–IV): I стадия (T1N0M0) — 14 (43,8%) наблюдений, II стадия (T2N0M0) — 1 (3,1%) наблюдение, III стадия (T1N1M0, T2N1M0, T3N0M0, T3N1M0) — 7 (21,9%) и IV стадия (T4N0M0, T4N1M0, ТлюбаяN2M1, ТлюбаяNлюбаяM1) — 10 (31,2%) наблюдений. Степень злокачественности клеток опухоли оценивали по S.A. Fuhrman и соавт. [10]. В изученном материале было 12 (37,5%) опухолей степени анаплазии G₁, 11 (34,4%) опухолей степени анаплазии G₂ и 9 (28,1%) — степени G₃.

В процессе исследования больные были разделены на 2 группы. В 1-ю группу вошли пациенты с дипloidными, триплоидными (в среднем 3,4 с) опухолями небольшого размера (< 7 см), степенями злокачественности G_{1–2}, низкими значениями AgNORs и отсутствием метастазов. Во 2-ю группу включены больные



Патологический неоангиогенез в ПЗ: а — сосуды в виде лакун в ПЗ опухолей больных 1-й группы; б — сосуды капиллярного типа в ПЗ опухолей больных 2-й группы. Окраска гематоксилином и эозином. $\times 400$

с полиплоидными и анеуплоидными (в среднем 5,6 с) опухолями большого размера (> 7 см), степенями злокачественности G_{3-4} , с высокими значениями AgNORs и наличием метастазов.

Материал для исследования забирали из центра опухоли, ПЗ и неизмененной ткани почки, из максимально отдаленных от опухоли участков. За ПЗ принимали непосредственно прилежащую к псевдокапсуле ткань опухоли, псевдокапсулу и ткань, расположенную за псевдокапсулой до неизмененной ткани почки. Гистологические срезы окрашивали гематоксилином и эозином, на коллаген — по Ван-Гизону, на эластические волокна — резорцин-фуксином по Вейгерту, на ДНК — по Фельгену, на тучные клетки — альциановым синим и сафрином О и на аргирофильные белки, ассоциированные с областью ядрышкового организатора (AgNOR), — по Y. Dascal и соавт. [11] в нашей модификации [12]. В каждом случае на масляной иммерсии при увеличении $\times 1000$ рассчитывали плотность микроциркуляторного русла (ПМЦР) в 20 произвольно выбранных полях зрения.

Морфометрические и микроспектрофотометрические исследования проводили с использованием системы компьютерного анализа изображений, состоящей из микроскопа Leica DME, цифровой камеры Leica EC3 (Leica Microsystems AG, Германия), персонального компьютера Pentium 4 и программного обеспечения ВидеоТест — Морфология 5,2. Плоидометрию ДНК проводили на гистологических срезах, окрашенных по Фельгену. Среднее содержание ДНК в ядрах малых лимфоцитов принимали за диплоидное (2 с) и использовали в качестве стандарта. Для получения стандарта в каждом срезе оценивали 25–30 лимфоцитов. В исследуемых клетках высчитывали индекс накопления ДНК (ИНДНК) в единицах пloidности (с) и строили гистограммы клonalного распределения клеток по количеству генетического материала, выраженного в процентах.

Статистический анализ проводили с помощью пакета программ Statistica 6,0. Рассчитывали среднее арифметическое значение (M), ошибку среднего зна-

чения (m), достоверность различия средних, которую рассчитывали с помощью t-критерия Стьюдента, данные считали достоверными при $p < 0,05$. Корреляционные взаимосвязи определяли путем расчета коэффициента корреляции Пирсона.

Результаты

При исследовании ПМЦР в ПЗ установлено вовлечение сосудов в патологический неоангиогенез. В большинстве случаев сосуды, расположенные рядом с опухолью, не имели мышечной оболочки и в них отсутствовала дифференцировка на артерии и вены. Для опухолей степени анаплазии G_{1-2} были более характерны структуры, имеющие лакунарное строение, а для G_{3-4} — сосуды капиллярного типа, образованные одним слоем эндотелиоподобных клеток (см. рисунок).

Соединительная ткань вокруг новообразованных сосудов была представлена пучками рыхлых тонких бледноокрашенных коллагеновых волокон. В соединительной ткани, окружающей сосуды, определялось значительное количество тучных клеток, причем в ПЗ опухолей степени анаплазии G_{3-4} преобладали дегранулированные формы тучных клеток. В ПЗ опухолей наряду с новообразованными сосудами также отмечали сосуды, характерные для почки, в них обнаруживались явления выраженного эластофиброза, сужением просвета, разрастанием соединительной ткани и гиперплазией эластических мембран.

Достоверные различия были обнаружены при морфометрическом измерении параметров ядра опухолей пациентов 1-й и 2-й групп (табл. 1).

В ПЗ пациентов 1-й группы ПМЦР составила $5,8 \pm 0,6$, а у пациентов 2-й группы она возрастала до $8,6 \pm 0,8$. В эндотелии новообразованных сосудов ПЗ число AgNORs составило $2,0 \pm 0,09$ в 1-й группе, во 2-й группе оно было достоверно выше ($3,8 \pm 0,1$), что указывает на более высокую скорость пролиферации эндотелия (табл. 2).

Для исследования взаимосвязей ПМЦР в ПЗ с клинико-морфологическими параметрами рака почки

Таблица 1. Параметры ядер клеток опухолей в группах больных

Биологический параметр опухоли	Группа больных	
	1-я	2-я
Площадь клеточного ядра, мкм ²	25,1 ± 0,8*	43,8 ± 1,1*
ИНДНК, с	3,4 ± 0,1*	5,6 ± 0,2*
Количество AgNORs на ядро	5,3 ± 0,2*	14,4 ± 0,5*
Количество ядрышек на ядро	1,4 ± 0,04*	1,9 ± 0,06*

* p < 0,05.

Таблица 2. Параметры неоангиогенеза ПЗ

Параметр неоангиогенеза в ПЗ	Группа больных	
	1-я	2-я
ПМЦР	5,8 ± 0,6*	8,6 ± 0,8*
Количество AgNORs в эндотелии	2,0 ± 0,09*	3,8 ± 0,1*
Количество ядрышек в эндотелии	1,4 ± 0,04	1,6 ± 0,06

* p < 0,05.

нами была построена матричная корреляционная таблица, в которую были внесены некоторые характеристики больных, а также биологические и морфологические параметры опухолей. В процессе корреляционного анализа были обнаружены умеренные положительные коррелятивные взаимосвязи ПМЦР в ПЗ: со стадией по TNM ($r = 0,55$); наличием метастазов ($r = 0,64$); степенью клеточной градации (G) ($r = 0,65$); инвазией опухоли в псевдокапсулу ($r = 0,54$); пloidностью (ИНДНК) ($r = 0,52$) и активностью AgNORs в опухоли ($r = 0,54$). Слабая положительная корреляция была найдена между ПМЦР и размером опухоли (T) ($r = 0,20$). Не обнару-

жено корреляций ПМЦР с возрастом ($r = 0,10$) и полом ($r = 0,05$) больных.

Таким образом, проведенное исследование позволило установить вовлечение сосудов ПЗ рака почки в патологический опухолевый неоангиогенез, активность которого зависела прежде всего от свойств опухоли, которые определяли ее высокозлокачественный потенциал. ПМЦР в ПЗ коррелировала с важнейшими прогностическими параметрами опухолей, и поэтому данный параметр может быть использован в качестве дополнительного фактора прогноза при прогнозировании течения рака почки.

Л И Т Е Р А Т У РА

1. Авдалян А.М., Бобров И.П., Климацев В.В. и др. Прогностическое значение исследования сосудов микроциркуляторного русла в опухоли и перитуморозной зоне по данным выявления белка CD31 и количества аргирофильных белков области ядрышкового организатора (AgNOR) в эндотелии при лейомиосаркоме тела матки. Фундаментальные исследования 2010;(5):12–20.
2. Авдалян А.М., Бобров И.П., Климацев В.В., Лазарев А.Ф. Ангиогенез опухоли и перитуморозной зоны: все ли вопросы решены? Вопр онкол 2010;56(2):3–4.
3. Сенчукова М.А., Стадников А.А., Шевлюк Н.Н., Боков Д.А. Морфологическая характеристика сосудов подслизистой оболочки желудка на участках, прилежащих к опухоли, у больных раком желудка. Вопр онкол 2010;T.56(2):40–1.
4. Федосенко К.Ф. Некоторые особенности биосинтетических и пролиферативных процессов в эпителии и строме предстательной железы при нодозной гиперплазии, раке и в перитуморозной зоне. Вопр онкол 2002; 48(1):47–50.
5. Черданцева Т.М., Бобров И.П., Климацев В.В. и др. Гистологическое строение перитуморозной зоны при раке почки. Вестн НГУ 2011;(2):141–6.
6. Mairinger T., Mikuz G., Gschwendter A. Nuclear chromatin texture analysis of nonmalignant tissues can detect adjacent prostatic adenocarcinoma. Prostate 1999; 41:12–9.
7. Montironi R., Hamilton P.W., Scarpelli M. Subtle morphological changes in normal — looking epithelium in prostates with prostatic intraepithelial neoplasia of cancer. Europ Urol 1999; 35(5–6):468–73.
8. Billelmont B., Meric J.B., Izzedine H. et al. Angiogenesis and renal cell carcinoma. Bull Cancer 2007;94:232–40.
9. Sharma S.G., Aggarwal N., Gupta S.D. et al. Angiogenesis in renal cell carcinoma: correlation of microvessel density and microvessel area with other prognostic factors. Int Urol Nephrol 2011;43:125–9.
10. Fuhrman S.A., Lasky L.C., Limas C. Prognostic significance of morphologic parameters in renal cell carcinoma. Am J Surg Pathol 1982;6:655–63.
11. Dascal Y., Smetana K., Buch H. Evidence from studies on segregated nucleoli that nucleolar silver stained proteins C 23 and B 23 are in fibrillar components. Exp Cell Res 1980;127:285–91.
12. Бобров И.П., Авдалян А.М., Климацев В.В. и др. Модификация гистохимического метода выявления ядрышковых организаторов на гистологических срезах. Арх патол 2010; 72(3):35–7.